

بررسی نقش تکتونیک در ناهنجاری مورفومتری شبکه‌ی زهکشی در چهار حوضه‌ی آبخیز در زاگرس

شهرام بهرامی* - استادیار گروه جغرافیا، دانشگاه تربیت معلم سبزوار

مهران مقصودی - دانشیار گروه جغرافیا، دانشگاه تهران

کاظم بهرامی - دانشجوی کارشناسی ارشد زمین‌شناسی مهندسی، دانشگاه تربیت مدرس، تهران

پذیرش مقاله: ۱۳۸۹/۲/۴ تأیید نهایی: ۱۳۹۰/۴/۲۷

چکیده

این پژوهش، نقش تکتونیک در ناهنجاری سیستم زهکشی در چهار حوضه‌ی زهکشی پیران، پاطاق، کمندان و دره‌تخت در زاگرس شمال‌غرب را بررسی کرده است. شاخص ناهنجاری سلسله‌مراتبی (Δa)، شاخص انشعابات (R)، شاخص عدم تقارن حوضه (AF)، شاخص تقارن توپوگرافی عرضی حوضه (T) و الگوی زهکشی پارامترهای مورد بررسی این پژوهش هستند. پارامترهای مذکور، بر اساس نقشه‌های توپوگرافی با مقیاس ۱/۵۰۰۰۰۰ بدست آمد. خطوط منحنی میزان، با اختلاف ارتفاع ۲۰ متر حوضه‌ها در محیط نرم‌افزار ILWIS رقومی شد و بر اساس آن، نقشه‌ی مدل ارتفاعی رقومی حوضه‌ها و شبکه‌های زهکشی با درجه‌های مختلف بدروش استراهله تهیه شد. بعد از تعیین مسیرهای زهکشی ناهنجار و تعداد آبراهه‌ها در هر مسییر، شاخص‌های ناهنجاری زهکشی برای حوضه‌ها تعیین شد. شاخص‌های عدم تقارن حوضه (AF) و شاخص تقارن توپوگرافی عرضی حوضه (T) بر اساس تعیین خط مرکز حوضه‌ها و روداخانه‌های اصلی حوضه‌ها محاسبه شدند. نتایج این پژوهش نشان می‌دهد که مقدار شاخص ناهنجاری سلسله‌مراتبی (Δa) در حوضه‌ی پاطاق و پیران که در زاگرس چین خورده قرار دارند، نسبت به دو حوضه‌ی دیگر در زاگرس روانده، بیشتر است. شاخص مذکور در حوضه‌های پاطاق، پیران، کمندان و دره‌تخت به ترتیب ۲/۰/۶، ۱/۶/۵، ۱/۲/۴ و ۱/۱/۵ است. حداقل پارامتر R (شاخص انشعابات) نیز در حوضه‌ی پاطاق (۱/۰/۱) و حداقل آن در حوضه‌ی کمندان (۰/۷/۵) است. بررسی داده‌ها نشان می‌دهد، رابطه‌ی معنادار مستقیمی بین پارامتر Δa و AF وجود دارد، بهطوری که ضریب همبستگی بین این دو متغیر ۹/۶ درصد است. ضریب همبستگی بین Δa و T نیز ۸/۷ درصد است؛ با این وجود، بررسی رابطه بین پارامتر R و AF نشان می‌دهد که رابطه‌ی مستقیمی بین این دو متغیر وجود ندارد و ضریب همبستگی آنها حدود ۴/۴ درصد است. ضریب همبستگی بین R و T نیز ضعیف (۲۳ درصد) است. مطالعه‌ی الگوی زهکشی در حوضه‌ها نشان داد که حوضه‌های قدمی‌تر و فرسایش‌یافته‌تر واقع در زاگرس روانده (کمندان و دره‌تخت) الگوی زهکشی شبکه‌ی درختی دارند. الگوی زهکشی کلی در دو حوضه‌ی پیران و پاطاق (در بخش جوان تر و فغال تر زاگرس چین خورده) دارستی است، با این وجود، در این حوضه‌ها در پهلوهای پرشیب طاقدیس‌ها، الگوی موازی توسعه یافته است، در حالی که در مناطق کم‌شبی ساختمانی، الگوی شبکه‌ی درختی دیده می‌شود. بهطورکلی، این پژوهش نشان می‌دهد که ناهنجاری زهکشی در حوضه‌های مورد مطالعه، متأثر از تکتونیک بوده و پارامتر Δa در مقایسه با پارامتر R، کارایی بالایی در تعیین تکتونیک فعل حوضه‌ها دارد.

کلیدواژه‌ها: ناهنجاری زهکشی، شاخص ناهنجاری سلسله‌مراتبی، شاخص انشعابات، پیران، کمندان، تکتونیک، زاگرس.

مقدمه

رشته کوه زاگرس در محل برخورد پلاتفرم عربستان و اوراسیا، نمونه‌ی یک کمربند کوهزایی جوان و فعال است. شواهد زمین‌شناسی، ژئومورفولوژیکی و لرزه‌شناسی نشان می‌دهد که زاگرس از شمال شرق به سمت جنوب‌غرب در حال بالا آمدگی است. به عبارتی، ساختارهای زاگرس از شمال شرق به سمت جنوب‌غرب جوان‌تر می‌شوند (بربریان^۱، ۱۹۹۵، ۲۰۱). بررسی‌ها نشان می‌دهد که فعالیت‌های تکتونیکی و مقدار بالا آمدگی در بخش‌های مختلف زاگرس متفاوت است (نیلوفوشان و همکاران، ۲۰۰۳؛ ۴۱۱؛ ورنانت^۲ و همکاران، ۲۰۰۴؛ ۳۸۱؛ حسامی و همکاران، ۲۰۰۶، ۱۴۷). از شواهد بالا آمدگی زاگرس می‌توان به وقوع زلزله‌ها (بلانک^۳ و همکاران^۴، ۲۰۰۳، ۴۰۵)، کوتاه‌شدگی طاقدیس‌ها، برش طاقدیس‌ها توسط رودخانه‌ها، پادگانه‌های بالا آمده و مئاندرهای رودخانه‌ای (بربریان، ۱۹۹۵)، بالا آمدگی کانال‌های آبیاری قدیمی (حسامی و دیگران، ۲۰۰۶، ۱۴۳) و شواهد ژئومورفیک بالا آمدگی چین‌ها مانند الگوی شبکه‌ی زهکشی (ابر لندر، ۱۹۸۵، ۱۶۲؛ رنگرن و اقبال‌الدین، ۱۹۹۵، ۳۱۶؛ رامسی و همکاران، ۲۰۰۸، ۳۲؛ پیراسته و همکاران، ۲۰۱۱، ۱۷۱) اشاره کرد.

از میان شواهد ژئومورفولوژیک تکتونیک‌های فعال، شبکه‌های زهکشی و خصوصیات مربوط به آنها مانند الگوی زهکشی، تراکم زهکشی، ناهنجاری‌های زهکشی، نحوه اتصال (زاویه‌ی اتصال شبکه‌ها) و جهت شبکه‌ها در شناسایی تکتونیک‌های فعال و تفاوت‌های مکانی آنها نقش مهمی دارند.

دفونتینز^۵ و چوروویکز^۶ (۱۹۹۱، ۲۴۸) نقش عوامل ساختمانی در ایجاد انواع الگوهای زهکشی، زاویه‌ی اتصال شبکه‌ها و تراکم زهکشی در حوضه‌ی زایرہ^۷ در آفریقای مرکزی را بررسی کردند. دفونتینز و همکاران (۱۹۹۲، ۲۰۴) نقش گسل‌های فعال در الگوی زهکشی و زاویه‌ی تلاقی یا برخورد شبکه‌های زهکشی در مراکش را مورد ارزیابی قرار دادند. همچنین دفونتینز و همکاران (۱۹۹۴، ۲۴۷) به بررسی نقش تکتونیک‌های فعال در ایجاد ناهنجاری‌های زهکشی و الگوهای آبراهه‌ای مختلف در تایوان پرداختند. جکسون^۸ و همکاران (۱۹۹۶، ۲۲۱) تکامل ساختمانی سیستم‌های چین‌خورده و گسلی در اوتاگوی مرکزی^۹ در نیوزلند را بر اساس شواهد تغییرات در شبکه‌های زهکشی شناسایی و تبیین کردند. جکسون و همکاران (۱۹۹۸، ۳۸۱) در یک مطالعه‌ی دقیق، آثار کج شدگی چین‌ها و نقش گسل‌ها در الگوی زهکشی و انحراف مسیر شبکه‌ی آب‌ها در ناحیه‌ی ماناواتو^{۱۰} در نیوزلند را مورد ارزیابی قرار دادند. تالینگ و سوتر^{۱۱}

1. Berberian

2. Vernant

3. Blance

4. Deffontaines

5. Chorowicz

6. Zaire

7. Jackson

8. Central Otago

9. Manawatu

10. Talling and Sowter

(۱۹۹۹، ۸۱۶) نقش تکتونیک و بالا آمدگی طاقدیس ویلر ریچ^۱ در کالیفرنیا را در تراکم زهکشی بررسی کردند. مطالعه‌ی آنها نشان داد که تراکم زهکشی در پهلوهای پُرشیب کمتر است. گولدزورسی^۲ و جکسون (۲۰۰۰، ۹۷۵) نقش تکامل گسل‌های عادی در تغییر مسیر آبراهه‌ها در یونان (در حوضه‌ی لاریسا^۳) را تجزیه و تحلیل کردند. سیمونی^۴ و همکاران (۲۰۰۳، ۲۵۸) نقش بالا آمدگی در تفاوت‌های مکانی الگو و تراکم زهکشی در آپینین شمالی^۵ در ایتالیا را بررسی کردند. مطالعه‌ی آنها نشان داد که تفاوت‌های تکتونیکی در بخش‌های مختلف آپینین باعث تفاوت زیادی در الگوی زهکشی و تراکم زهکشی شده است و ناهنجاری‌های زهکشی، از تکتونیک تأثیر یافته است. جیمیسون^۶ و همکاران (۲۰۰۴، ۵۶) نقش تکتونیکی در نسبت انشعبات، تراکم زهکشی، انتگرال هیپسومتریک شبکه‌های رودخانه‌ای در هیمالیا در شمال هند را مورد مطالعه قرار داده و مشخص شد که عوامل تکتونیکی، نقش مهمی در تفاوت ویژگی‌های مورفومتری شبکه‌های زهکشی اعمال می‌کنند. سونگ و چن^۷ (۲۰۰۴، ۳۹۳) نقش گسل خوردنگی و ساختمان طاقدیس پاکوشان در مرکز تایوان را در جهت‌گیری و الگوی شبکه‌ی زهکشی بررسی کردند. دلکایلو^۸ و همکاران (۲۰۰۶، ۲۴۷) نقش بالا آمدگی دو طاقدیس جانوری^۹ و چاندیگار^{۱۰} در شمال غرب هند را در ایجاد الگوهای مختلف آبراهه‌ای تحلیل کردند. احمدی و همکاران (۲۰۰۶، ۷۲۷) واکنش شبکه‌های زهکشی به یک طاقدیس در حال رشد با فروض محوری دوطرفه را در کوههای اطلس در تونس مورد ارزیابی قرار دادند. ژانگ^{۱۱} و همکاران (۲۰۰۶، ۲۴۸) در مطالعه‌ای در شرق فلات تبت نشان دادند که مقدار کم نسبت انشعبات و طول رودخانه‌ها در کوههای مینشان^{۱۲} به دلیل بالا آمدگی فعال شرق این کوهها است. رامسی و همکاران (۲۰۰۸، ۳۲) تکامل شبکه‌ی زهکشی و تغییرات الگوی زهکشی در طاقدیس‌های در حال رشد (در امتداد محور) در زاگرس فارس (طاقدیس‌های کوه سفیدار، کوه هندون و کوه خنج) را ارزیابی کردند. پیراسته و همکاران (۲۰۱۱، ۱۷۱) فرایندهای تکتونیکی زاگرس را بر اساس تغییرات شبکه‌های رودخانه‌ای در یک دوره‌ی زمانی (۱۹۵۰ تا ۲۰۰۱) را مورد تجزیه و تحلیل قرار دادند. در زمینه‌ی سازماندهی و نظم و ترتیب رده‌های مختلف آبراهه‌ای و رابطه آن با عوامل تکتونیکی نیز مطالعاتی انجام شده است. سیکاسی^{۱۳} و همکاران (۱۹۸۶، ۲۳۴) شاخصی به نام ناهنجاری سلسله‌مراتبی تعریف کردند که بر اساس آن تأثیر عوامل تکتونیکی در ناهنجاری‌های سلسله‌مراتبی مشخص شده است. آنها شاخص ناهنجاری سلسله‌مراتبی را به صورت نسبت حداقل آبراهه‌های درجه یک (که باید به شبکه‌ی زهکشی اضافه شوند تا شبکه‌ها نظم سلسله‌مراتبی داشته باشند) به تعداد کل آبراهه‌های درجه یک موجود در حوضه

1. Wheeler Ridge

2. Goldsworthy

3. Larissa

4. Simoni

5. Northern Apennines

6. Jamieson

7. Sung and Chen

8. Delcaillau

9. Janauri

10. Chandigarh

11. Zhang

12. Minshan

13. Ciccacci

تعریف کردند. گارنیری و پیروتا^۱ (۲۰۰۸، ۲۶۷) نیز از شاخص ناهنجاری سلسله‌مراتبی، شاخص انشعابات، برای بررسی تأثیر تکتونیک در چهار حوضه‌ی زهکشی در شمال شرق سیسیلی ایتالیا استفاده کردند. بررسی آنها نشان داد که تکتونیک‌های فعال، نظام شبکه‌ی زهکشی را بهم می‌زنند و مقدار شاخص ناهنجاری زهکشی حوضه‌های تکتونیکی با فعالیت بالا، بیشتر از حوضه‌های تکتونیکی با فعالیت پایین است.

هدف این پژوهش، بررسی خصوصیات مورفومتریکی شبکه‌های زهکشی، نظام و ترتیب و الگوی زهکشی، ناهنجاری شبکه‌ی زهکشی به‌ویژه شاخص‌های ناهنجاری سلسله‌مراتبی آبراهه‌ها در چهار حوضه‌ی زهکشی در زاگرس چین‌خورد و رورانده و بررسی تأثیر تکتونیک بر شاخص‌های مورفومتریکی شبکه‌ی زهکشی است.

مواد و روش‌ها

برای بررسی ویژگی‌های مورفومتریکی شبکه‌ی زهکشی و ارتباط آن با تکتونیک در چهار حوضه‌ی زهکشی در زاگرس، محدوده‌ی حوضه‌های مطالعاتی در نقشه‌های توپوگرافی ۱/۵۰۰۰۰ تعیین شد. خطوط منحنی میزان، با اختلاف ارتفاع ۲۰ متر حوضه‌ها در محیط نرم‌افزار الوبیس رقومی شد و بر اساس آن نقشه‌ی مدل ارتفاعی رقومی حوضه‌ها و شبکه‌های زهکشی با درجه‌های مختلف به‌روش استراهله (Ahnert^۲، ۱۹۹۰، ۲۰۵) تهیه شد.

در این پژوهش برای محاسبه‌ی شاخص ناهنجاری سلسله‌مراتبی^۳ (Δa)، ابتدا تعداد ناهنجاری سلسله‌مراتبی^۴ (Ha) به‌دست آمد (سیکاسی و همکاران، ۱۹۸۶، ۲۳۴؛ گارنیری و پیروتا، ۲۰۰۸، ۲۶۷). در سیستم شبکه‌ی زهکشی، هر آبراهه درجه ۱ اگر به آبراهه ۲ وارد شود، نظام سلسله‌مراتبی دارد، اما آبراهه‌های درجه ۱ که وارد آبراهه‌های درجه ۳، ۴ و بالاتر شوند، ناهنجاری سلسله‌مراتبی دارند. بنابراین، به این آبراهه‌های درجه ۱ که ناهنجاری دارند، باید به صورت فرضی آبراهه‌هایی اضافه شود، تا نظام سلسله‌مراتبی داشته باشند. به عنوان مثال، اگر به آبراهه‌های درجه ۱ که وارد آبراهه درجه ۳ می‌شوند، یک آبراهه فرضی اضافه کنیم، شبکه منظم می‌شود (آبراهه درجه ۱ قبلی به درجه ۲ تبدیل شده و هنگامی که درجه ۲ وارد درجه ۳ می‌شود، شبکه فاقد ناهنجاری خواهد شد). همچنین، برای آبراهه‌های درجه ۱ که به درجه ۴ وارد می‌شوند، با اضافه کردن ۳ آبراهه‌ی درجه ۱ فرضی، شبکه‌ی زهکشی دارای نظام سلسله‌مراتبی می‌شود. جدول شماره ۱ تعداد آبراهه‌های درجه ۱ که لازم است برای مسیرهای ناهنجار (مسیرهایی که به درجه به علاوه ۱ بالاتر از خود وارد نشده، بلکه به مسیرهای به علاوه ۲ و بالاتر از خود وارد می‌شوند) به صورت فرضی اضافه شوند را نشان می‌دهد. همان‌طور که جدول ۱ نشان می‌دهد، اگر حوضه‌ای یک آبراهه درجه ۲ داشته باشد که وارد آبراهه درجه ۴ می‌شود، با اضافه کردن ۲ آبراهه درجه ۱ به صورت تئوری، شبکه‌ی مذکور از نظام سلسله‌مراتبی برخوردار می‌شود. همچنین به عنوان نمونه، اگر حوضه‌ای ۱۰۰ آبراهه درجه ۱ داشته باشد که وارد درجه ۶ می‌شوند، باید تعداد ۱۵۰۰ آبراهه درجه ۱ به صورت فرضی به شبکه‌ی زهکشی اضافه شود. به عبارتی دیگر، به ازای هر آبراهه درجه ۱ که وارد درجه ۶

1. Guarnieri and Pirrotta

2. Ahnert

3. Hierarchical anomaly index

4. Hierarchical anomaly number

می‌شود باید ۱۵ آبراهه درجه ۱ اضافه شود. در این مقاله معادله‌ی ریاضی مربوط به محاسبه‌ی تعداد ناهنجاری سلسله‌مراتبی (Ha) برای مسیرهای زهکشی ناهنجاری ($y \rightarrow x$) ارائه شده است (معادله ۱ و ۲). به عنوان مثال، برای مسیر ناهنجار ۱ به ۵، مقدار Ha، عدد ۷ به دست آمده است.

$$Ha(x \rightarrow y) = h(y-1) - h(x) \quad y > x \quad (1)$$

$$h(x, y) = 2^{(x, y)-1} \quad (2)$$

مثال:

$$Ha(1 \rightarrow 5) = h(5-1) - h(1) = h(4) - h(1) \quad h(1) = 2^{(1-1)} = 2^0 = 1$$

$$Ha(1 \rightarrow 5) = 8 - 1 = 7 \quad h(4) = 2^{(4-1)} = 2^3 = 8$$

در این پژوهش بعد از تعیین مسیرهای ناهنجار و تعداد آبراهه‌ها در مسیرهای ناهنجار و ضرب آنها در ستون سمت چپ جدول شماره ۱، تعداد آبراهه‌های درجه ۱ فرضی اضافه شده به هر مسیر ناهنجار محاسبه شد. Ha شامل مجموع آبراهه‌های درجه ۱ اضافه شده فرضی در تمام مسیرهای ناهنجار، و Δa (شاخص ناهنجاری سلسله‌مراتبی) شامل عدد Ha تقسیم بر تعداد آبراهه‌های درجه ۱ واقعی کل حوضه هستند.

جدول ۱. تعداد آبراهه‌های فرضی درجه ۱ مورد نیاز برای منظم‌کردن مسیرهای ناهنجار

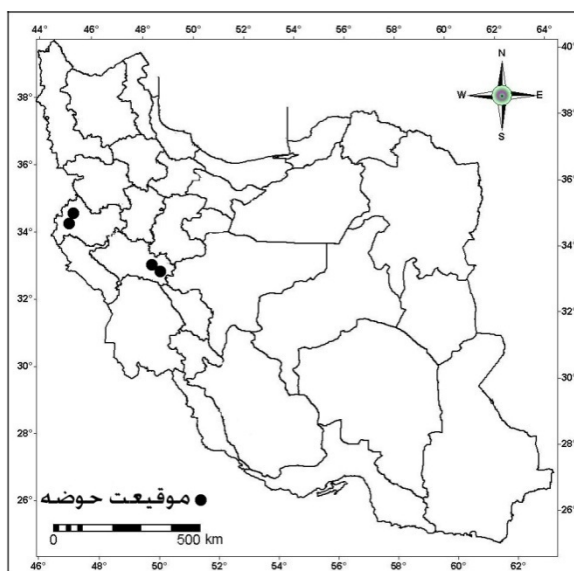
مسیر آبراهه‌هایی که ناهنجاری سلسله‌مراتبی دارند در یک حوضه درجه ۶	حداقل تعداد آبراهه‌های فرضی درجه ۱ مورد نیاز برای منظم‌کردن (یک) آبراهه در مسیرهای ناهنجار (Ha)
۱→۳	۱
۱→۴	۳
۱→۵	۷
۱→۶	۱۵
۲→۴	۲
۲→۵	۶
۲→۶	۱۴
۳→۵	۴
۳→۶	۱۲
۴→۶	۸

منبع: معادلات ۱ و ۲: نگارنده

بعد از تعیین Ha و Δa ، برای بررسی تأثیر تکتونیک در ناهنجاری زهکشی حوضه‌ها، دو پارامتر AF (فاکتور عدم تقارن حوضه) و T (تقارن توپوگرافی عرضی حوضه) محاسبه شدند. پارامترهای مذکور با استفاده از چند مقطع عرضی حوضه، تعیین خط وسط حوضه‌ی زهکشی و موقعیت طولانی‌ترین آبراهه حوضه در نرم‌افزار الوبیس محاسبه شدند. درنهایت میزان تأثیر تکتونیک بر ناهنجاری شبکه‌ی آبراهه‌ها در حوضه‌های مورد بررسی با استفاده از روابط خطی و ضریب همبستگی پارامترها تعیین و تجزیه و تحلیل شد.

منطقه‌ی مورد مطالعه

منطقه مورد مطالعه، شامل چهار حوضه‌ی زهکشی در استان‌های کرمانشاه و لرستان هستند. دو حوضه‌ی پیران و پاطاق، در استان کرمانشاه، بین شهرستان دالاهو و سرپل ذهاب قرار گرفته‌اند. حوضه‌های کمندان و دره‌تخت در استان لرستان، در جنوب و جنوب‌غرب ازنا و در دامنه‌ی شمال شرقی اشترانکوه واقع شده‌اند. شکل ۱ موقعیت حوضه‌های مطالعاتی را در ایران نشان می‌دهد. حوضه‌های پیران، پاطاق، کمندان و دره‌تخت به ترتیب $142/9$ ، $192/6$ ، $30/02$ و $32/9$ کیلومترمربع وسعت دارند. مرتفع‌ترین نقطه‌ی حوضه‌ی حوضه‌ی پیران 2460 متر (قله شاهان در شمال شرق حوضه) و پست‌ترین نقطه‌ی آن 630 متر در غرب آن قرار دارد. حداقل و حداکثر ارتفاع حوضه‌ی پاطاق به ترتیب 580 (در شمال‌غرب) و 2480 متر (نواکوه در جنوب‌غرب حوضه) است. حداقل ارتفاع در دو حوضه‌های کمندان و دره‌تخت، به ترتیب 2100 و 1980 متر است. حوضه‌های پیران و پاطاق، بخش بالادست حوضه‌ی آبریز الوند هستند. دبی متوسط سالانه‌ی رودخانه الوند، در 500 متر پایین‌تر از خروجی حوضه‌ی پاطاق، در ایستگاه هیدرومتری سرپل ذهاب (دوره‌ی آماری $1358-1332$) $5/2$ مترمکعب در ثانیه است. حوضه‌های کمندان و دره‌تخت، بخش بالادست حوضه‌ی رودخانه‌ی ماربر هستند. بر اساس ایستگاه هیدرومتری کمندان (در خروجی حوضه)، در دوره‌ی آماری $1380-1361$ ، دبی متوسط سالانه‌ی رودخانه کمندان $1/46$ مترمکعب محاسبه شده است. دبی متوسط سالانه‌ی ایستگاه هیدرومتری دره‌تخت، در خروجی حوضه‌ی دره‌تخت (دوره‌ی آماری $1380-1363$) $1/36$ مترمکعب در ثانیه است. متوسط شیب حوضه‌های پیران، پاطاق، کمندان و دره‌تخت به ترتیب $38/93$ ، $30/9$ ، $39/9$ و $67/7$ درصد محاسبه شده است.



شکل ۱. موقعیت حوضه‌های مورد مطالعه در نقشه‌ی ایران

از نظر زمین‌شناسی دو حوضه‌ی پیران و پاطاق در پهنه‌ی ساختمانی زاگرس چین خورده و دو حوضه‌ی کمندان و دره‌تخت در پهنه‌ی زاگرس رورانده قرار گرفته‌اند. حوضه‌ی پیران، بخشی از طاقدیس دالاهو و ناودیس فشرده ریجاب

است. حوضه‌ی پاطاق، بخشی از طاقدیس فرسایش‌یافته (کمب) نواکوه و ناودیس باریک سرمیل – شیره چقا و دامنه‌ی جنوب‌غربی طاقدیس دالاھو را شامل می‌شود. دو حوضه‌ی کمندان و دره‌تخت نیز در دیواره پرشیب شمال‌شرقی اشترانکوه قرار گرفته‌اند. از نظر چینه‌شناسی حوضه‌ی پیران شامل سازنده‌های آسماری – شهبازان (ash) شامل دولومیت و آهک دولومیتی، امیران (ka) شامل سیلت استون، ماسه‌سنگ و گنگلومرا، گچساران (lf) شامل انیدریت، نمک لایه‌های نازک آهک و مارن است (شکل ۲) که به ترتیب ۷۸/۶، ۰/۱۴، ۰/۱۸ و ۲۱/۱۴ درصد از مساحت کل حوضه را شامل می‌شوند. حوضه‌ی پاطاق شامل سازنده‌های آسماری؛ (as) شامل آهک، آسماری – شهبازان، تله زنگ؛ (et) شامل آهک، امیران، گرو؛ (kgr) شامل شیل، آهک و آهک‌های شیلی، گورپی؛ (kg) شامل شیل، مارن و آهک مارنی، آغاجاری؛ (uf) شامل ماسه‌سنگ‌های آهکی – گچی، مارن و سیلت استون، گچساران و آبرفت‌های کواترنری است (شکل ۲) که این سازنده‌ها به ترتیب ۰/۹۴، ۰/۵، ۴۰/۵، ۱۱/۸۷، ۸/۴۷، ۳/۵، ۱/۱۶، ۸/۱، ۰/۶ و ۲۴/۸۷ درصد مساحت کل حوضه را دربرمی‌گیرند (شرکت ملی نفت ایران، ۱۳۴۲، نقشه‌ی زمین‌شناسی ۱/۲۵۰۰۰۰ قصر شیرین).

در حوضه‌ی دره‌تخت واحدهای سنگی آهک مارنی (E1)، آهک دولومیتی (JK)، برش رادیولاریتی (JKR)، آهک نازک لایه (K1)، و مارن و آهک (O1) به ترتیب ۵۷/۶۸، ۲۵/۲۶، ۱۵/۲۵ و ۱/۶۶ درصد از کل مساحت حوضه را شامل می‌شوند (شکل ۳). در حوضه‌ی کمندان واحدهای سنگی آهک مارنی (E1)، آهک دولومیتی (JK)، برش رادیولاریتی (JKR)، آهک نازک لایه (K1)، مارن و آهک (O1) و گنگلومرا (Qc2) به ترتیب ۰/۵۲، ۰/۴۳، ۵۵/۰۷، ۰/۴۷ و ۰/۰۵ درصد از کل مساحت حوضه را دربرمی‌گیرند (سازمان زمین‌شناسی ایران، ۱۳۷۱، نقشه‌ی زمین‌شناسی ۱/۲۵۰۰۰۰ خرم آباد).

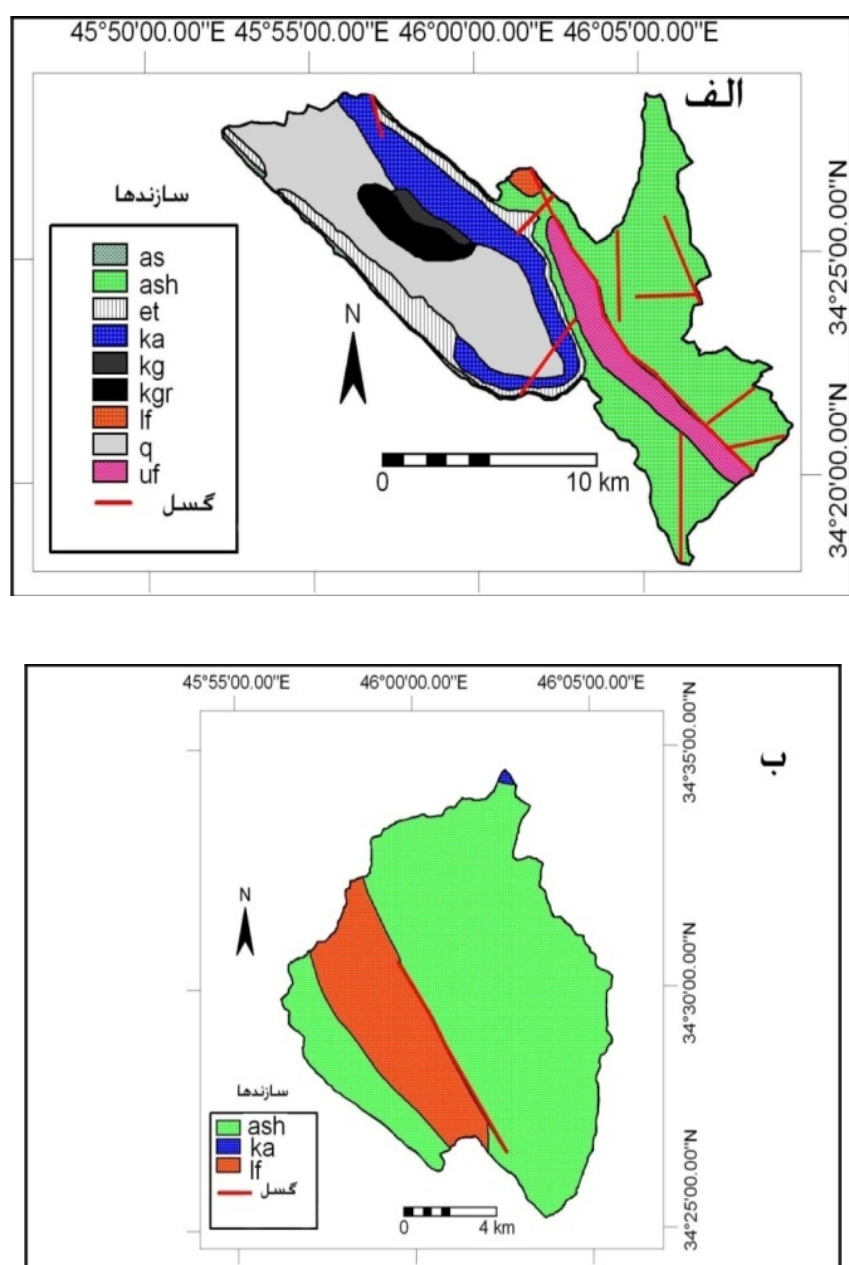
بارش متوسط سالانه‌ی ایستگاه‌های باران‌سنج پیران (دوره‌ی آماری ۱۳۶۴-۱۳۴۵) و حبیوند در حوضه‌ی پاطاق (دوره‌ی آماری ۱۳۶۶-۱۳۴۵) به ترتیب ۵۵۲ و ۵۷۹ میلی‌متر است. بارش متوسط سالانه ایستگاه‌های باران‌سنج کمندان (دوره‌ی آماری ۱۳۶۹-۱۳۴۶) و دره‌تخت (دوره‌ی آماری ۱۳۶۹-۱۳۴۶) به ترتیب ۷۵۲ و ۷۸۰ میلی‌متر است.

یافته‌های تحقیق

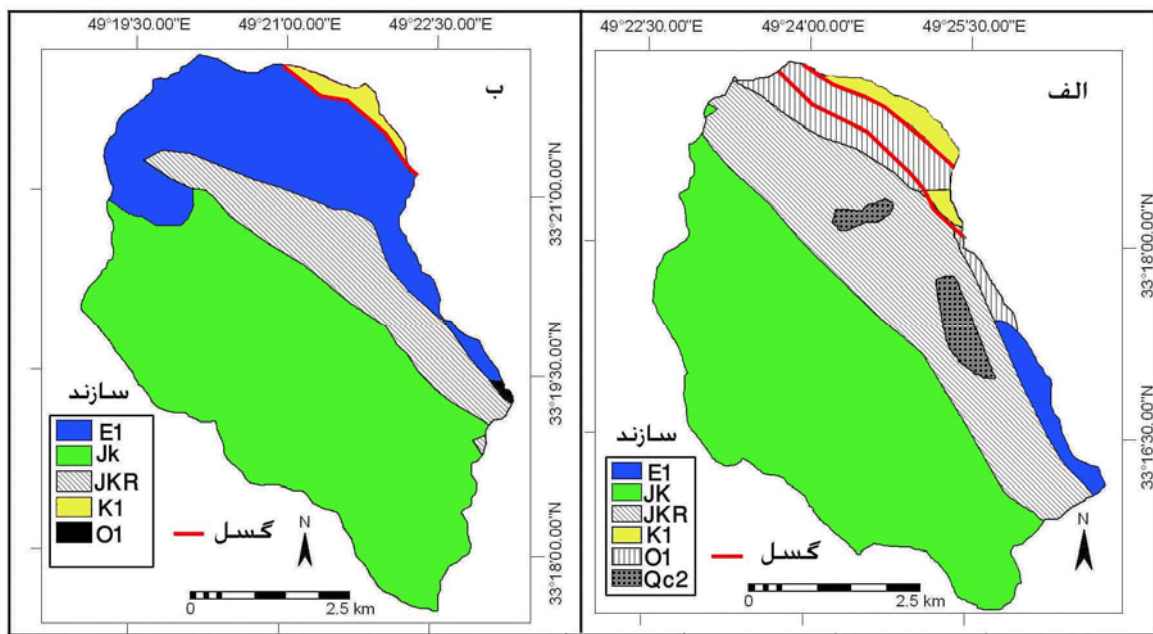
حوضه‌های زهکشی واقع در رشته‌کوه‌های زاگرس به علت تأثیرپذیری از تکتونیک‌های فعال و تفاوت در وضعیت تکتونیک در بخش‌های مختلف آن، شبکه‌های زهکشی متفاوتی دارند، به طوری که، مورفولوژی و الگوی آبراهه‌ها در حوضه‌های مختلف، متفاوت است. در این پژوهش برای بررسی نظم و ترتیب و ناهنجاری آبراهه‌ها و ارتباط آنها با عوامل تکتونیکی پارامترهای Ha (تعداد ناهنجاری سلسله‌مراتبی)، Δa (شاخص ناهنجاری سلسله‌مراتبی)، H (شاخص انشعابات)، AF (فاکتور عدم تقارن حوضه)، T (تقارن توپوگرافی عرضی حوضه) و الگوی زهکشی بررسی شده است. برای محاسبه‌ی پارامترهای مذکور، ابتدا نقشه‌ی شبکه‌ی آبراهه‌ها با درجه‌های مختلف حوضه‌ها تهیه شد (شکل‌های ۴ و ۵) و بر اساس آن تعداد آبراهه‌ها در مسیرهای مختلف و دیگر پارامترهای مورفومتریک حوضه‌ها استخراج شد.

تعداد ناهنجاری سلسله‌مراتبی (Ha)

پارامتر Ha شامل حداقل آبراهه‌های درجه ۱ است که باید به‌طور فرضی به شبکه‌ی زهکشی اضافه شوند تا مسیرها نظم سلسله‌مراتبی داشته باشند (سیکاسی و همکاران، ۱۹۸۶؛ گارنیری و پیروتا، ۲۰۰۸؛ ۲۳۴؛ ۲۶۷). برای محاسبه‌ی این شاخص ابتدا تعداد آبراهه‌ها با درجه‌های مختلف حوضه‌ها تعیین شد.



شکل ۲. سازنده‌های زمین‌شناسی حوضه‌ی پاطاق (الف) و پیران (ب)



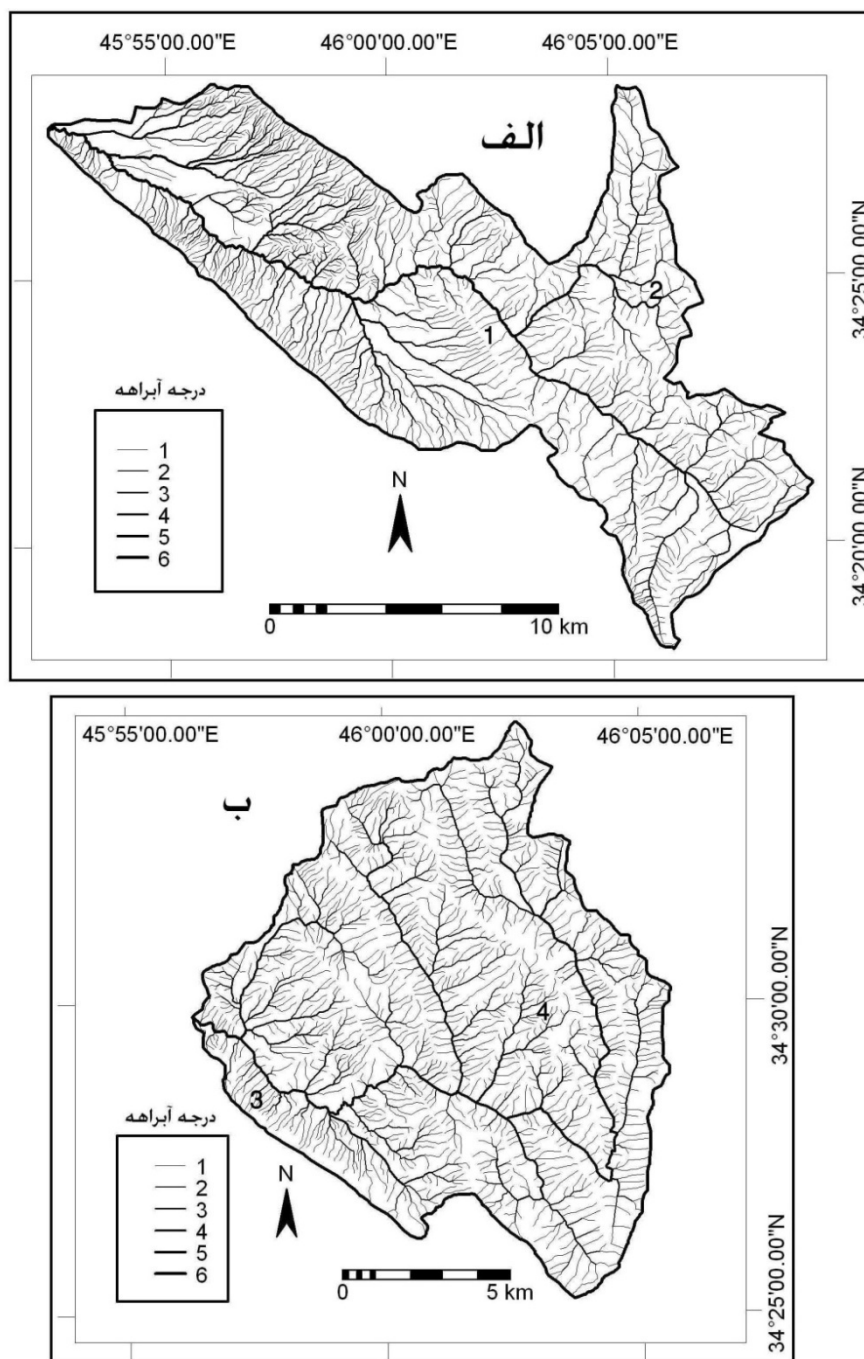
شکل ۳. سازندهای زمین‌شناسی حوضه‌ی کمندان (الف) و دره‌تخت (ب)

بعد از تعیین تمام مسیرهای زهکشی، مسیرهایی که ناهنجاری زهکشی دارند (جدول ۱) تعیین شدند. تعداد آبراهه در هر مسیر ناهنجار زهکشی، در ستون سمت چپ جدول شماره ۱ ضرب شد و از مجموع حاصل ضرب تعداد آبراهه‌ها در مسیرهای ناهنجار (ستون سمت راست جدول ۱) در حداقل آبراهه‌های درجه ۱ لازم برای منظم کردن شبکه (ستون سمت چپ جدول ۱)، شاخص Ha محاسبه شد. تعداد ناهنجاری سلسله‌مراتبی (Ha) برای چهار حوضه‌ی مورد مطالعه در جدول ۲ ارائه شده است. همان‌طور که جدول ۲ نشان می‌دهد، حوضه‌های پیران و پاطاق در منطقه‌ی زاگرس چین خورده Ha بالاتری نسبت به دو حوضه‌ی کمندان و دره‌تخت در زاگرس رورانده دارند.

شاخص ناهنجاری سلسله‌مراتبی (Δa)

شاخص ناهنجاری سلسله‌مراتبی یکی از شاخص‌های مهم تعیین میزان نقش تکتونیک در ناهنجاری شبکه‌ی زهکشی است، به‌طوری‌که هر چه میزان این شاخص در حوضه‌ای بیشتر باشد، نشان‌دهنده‌ی ناهنجاری بیشتر شبکه‌ی زهکشی یا تأثیر بیشتر تکتونیک بر سیستم آبراهه‌ای حوضه است. شاخص مذکور از تقسیم Ha بر تعداد واقعی آبراهه‌های درجه ۱ موجود در حوضه به‌دست می‌آید (گارنیری و پیروتا، ۲۰۰۸، ۲۶۷). شاخص Δa برای حوضه‌های مورد مطالعه در جدول ۲ ارائه شده است. همچنان که جدول ۲ نشان می‌دهد مقدار Δa در حوضه‌های پاطاق، پیران، کمندان و دره‌تخت به‌ترتیب ۰/۰۶، ۱/۰۵، ۱/۲۴ و ۱/۶۵ است. نتایج این شاخص نشان می‌دهد که بالاترین ناهنجاری زهکشی مربوط به حوضه‌ی پاطاق و سپس حوضه‌ی پیران است که این موضوع بیانگر تأثیر تکتونیک‌های فعال در این حوضه‌ها نسبت به دو حوضه‌ی دیگر است.

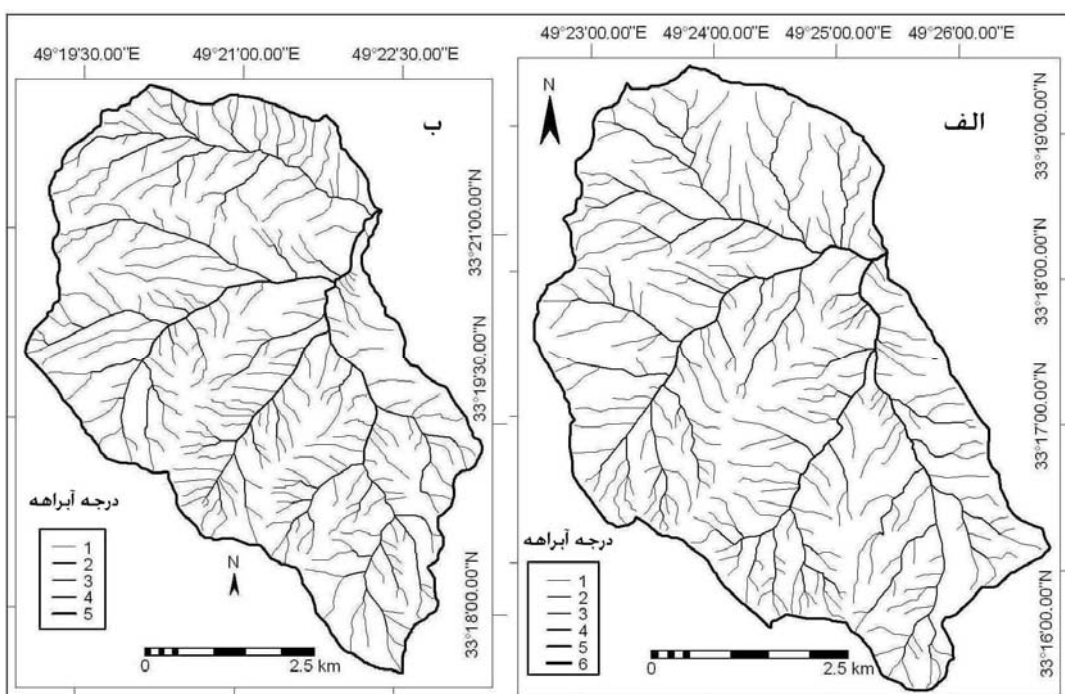
شاخص انشعبات (R): شاخص انشعبات از دیگر شاخص‌های تعیین آنومالی سیستم زهکشی در حوضه‌های آبخیز است. با افزایش درجه‌ی تأثیر عوامل تکتونیکی در حوضه‌ها مقدار شاخص مذکور افزایش می‌بادد. شاخص انشعبات، از عدد نسبت انشعبات حوضه، منهای نسبت مستقیم انشعبات حوضه به‌دست می‌آید (بارونی^۱ و همکاران ۲۰۰۵، ۲۲۳).



شکل ۴. نقشه‌ی شبکه‌ی آبراهه‌ها در حوضه‌ی پاتاق (الف) و بیران (ب)

برای محاسبه شاخص انشعابات ابتدا نسبت انشعابات (Rb) و سپس نسبت مستقیم انشعابات (Rbd) محاسبه شد. نسبت انشعابات برای هر رده از آبراهه، از تقسیم تعداد کل آبراهه‌های آن درجه، بر تعداد کل آبراهه‌های یک درجه بالاتر به دست می‌آید. نسبت انشعابات کل حوضه، از میانگین (Rb) کل درجه‌ها محاسبه شد (گارنیر و پیروتا، ۲۰۰۸، ۲۶۷). به عنوان مثال برای حوضه‌ی پیران نسبت انشعابات به صورت زیر محاسبه شده است:

$$Rb = \frac{1}{6-1} * \left\{ \frac{10.84}{20.1} + \frac{20.1}{39} + \frac{39}{9} + \frac{9}{2} + \frac{2}{1} \right\} = 4/28$$



شکل ۵. نقشه‌ی شبکه‌ی آبراهه‌ها در حوضه‌ی کمندان (الف) و دره‌تخت (ب)

نسبت انشعابات در حوضه‌های پاطاق، کمندان و دره‌تخت نیز به ترتیب $3/97$ ، $3/26$ و $4/02$ محاسبه شده است. نسبت مستقیم انشعابات (Rbd) برای هر درجه از آبراهه، از تقسیم تعداد آبراهه‌های آن درجه (که مستقیماً به یک درجه بالاتر وارد می‌شوند) بر تعداد کل آبراهه‌های یک درجه بالاتر به دست می‌آید. نسبت مستقیم انشعابات کل حوضه از میانگین (Rbd) کل درجه‌ها به دست آمد (گارنیر و پیروتا، ۲۰۰۸، ۲۶۷؛ بارونی و همکاران، ۲۰۰۵، ۲۲۳). به عنوان مثال، برای حوضه‌ی پیران، تعداد آبراهه‌های درجه ۱ که وارد ۲ می‌شوند ۶۴۱ عدد (جدول شماره ۴) و تعداد کل آبراهه‌های

درجه ۲ (جدول ۳) ۲۰۱ عدد است. بنابراین (Rbd) برای آبراهه درجه ۱ پیران $\frac{641}{201}$ است.

نسبت مستقیم انشعابات برای حوضه‌های مورد مطالعه، در جدول ۳ ارائه شده است. شاخص انشعابات (H) در هر حوضه شامل عدد (Rb) آن حوضه، منهای مقدار (Rbd) آن است. با افزایش فعالیت تکتونیکی در حوضه‌ها، مقدار

شاخص انشعبات افزایش می‌یابد. مقدار (R) در حوضه‌های پیران، پاطاق، کمندان و درجه‌تخت به ترتیب $0/99$ ، $0/01$ ، $0/75$ و $0/91$ است وجود تکتونیک‌های فعال‌تر در حوضه‌های پاطاق و پیران را نسبت به دیگر حوضه‌ها نشان می‌دهد.

جدول ۲. پارامترهای Ha و Δa در حوضه‌های مورد مطالعه

درجه‌تخت	کمندان	پاطاق	پیران	مسیر
تعداد آبراهه ضربدر حدائق آبراهه درجه ۱ لازم برای منظم کردن شبکه	تعداد آبراهه ضربدر حدائق آبراهه درجه ۱ لازم برای منظم کردن شبکه	تعداد آبراهه ضربدر حدائق آبراهه درجه ۱ لازم برای منظم کردن شبکه	تعداد آبراهه ضربدر حدائق آبراهه درجه ۱ لازم برای منظم کردن شبکه	
$41(1)=41$	$25(1)=25$	$162(1)$	$209(1)$	$1 \rightarrow 3$
$37(3)=11$	$40(3)=120$	$23(3)=69$	$115(3)=345$	$1 \rightarrow 4$
$10(7)=70$	$8(7)=56$	$43(7)=301$	$111(7)=777$	$1 \rightarrow 5$
$\cdot(15)=0$	$2(15)=30$	$48(15)=720$	$8(15)=120$	$1 \rightarrow 6$
$9(2)=18$	$15(2)=30$	$5(2)=10$	$27(2)=54$	$2 \rightarrow 4$
$3(6)=18$	$6(6)=36$	$15(6)=90$	$32(6)=192$	$2 \rightarrow 5$
$\cdot(14)=0$	$\cdot(14)=0$	$27(14)=378$	$4(14)=56$	$2 \rightarrow 6$
$1(4)=4$	$\cdot(4)=0$	$7(4)=28$	$10(4)=40$	$3 \rightarrow 5$
$\cdot(12)=0$	$\cdot(12)=0$	$13(12)=156$	$\cdot(12)=0$	$3 \rightarrow 6$
$\cdot(8)=0$	$\cdot(8)=0$	$3(8)=24$	$\cdot(8)=0$	$4 \rightarrow 6$
۲۶۲	۲۹۷	۱۹۳۸	۱۷۹۳	Ha
$262/228=1/15$	$297/240=1/24$	$1938/940=2/06$	$1793/1084=1/65$	Δa

جدول ۳. تعداد آبراهه‌ها و نسبت انشعبات در حوضه‌های مورد مطالعه

درجه‌تخت	کمندان	پاطاق	پیران	نام حوضه
				درجه آبراهه
تعداد آبراهه	تعداد آبراهه	تعداد آبراهه	تعداد آبراهه	
۲۲۸	۲۴۰	۹۴۰	۱۰۸۴	۱
۴۵	۵۲	۲۰۸	۲۰۱	۲
۹	۱۰	۵۳	۳۹	۳
۳	۴	۱۲	۹	۴
۱	۲	۴	۲	۵
	۱	۱	۱	۶
$4/02$	$3/26$	$3/97$	$4/28$	Rb

شاخص‌های کج‌شدگی تکتونیکی حوضه‌ها

شبکه‌های زهکشی نسبت به تغییرات تکتونیکی و کج‌شدگی‌های ساختمانی حوضه‌ها واکنش نشان می‌دهند. شاخص عدم تقارن حوضه‌ی (AF) یکی از شاخص‌های مهم، برای تعیین کج‌شدگی تکتونیکی حوضه‌های زهکشی است که از رابطه‌ی زیر محاسبه می‌شود:

$$AF = 100 (Ar/At)$$

که در آن Ar مساحت سمت راست (با نگاه از بالا دست به سمت پایین دست حوضه) رودخانه اصلی، و At مساحت کل حوضه است (ویردی^۱ و همکاران، ۲۰۰۶؛ کلر^۲ و پینتر^۳، ۲۰۰۲؛ کلمنت^۴ و بروک^۵، ۲۰۰۸). هرچه مقدار AF به عدد ۱۰۰ نزدیک شود، نشان دهنده‌ی کج‌شدگی حوضه به سمت چپ و هر چه به صفر نزدیک شود نشان دهنده‌ی کج‌شدگی حوضه به سمت راست است. مقدار ۵۰ نیز حوضه‌های بدون کج‌شدگی را نشان می‌دهد. مقادیر AF برای حوضه‌های مطالعاتی در جدول شماره ۵ ارائه شده است. داده‌های مربوط به این پارامتر نشان می‌دهد که تمامی حوضه‌ها به سمت چپ منحرف شده و حوضه‌ی پاطاق بیشترین کج‌شدگی را نسبت به حوضه‌های دیگر دارد.

جدول ۴. تعداد آبراهه‌های هر درجه که مستقیماً به یک درجه بالاتر وارد می‌شوند و نسبت مستقیم انشعابات در حوضه‌های مورد مطالعه

درجه تخت	کمندان	پاطاق	پیران	نام حوضه	
				تعداد آبراهه	مسیر آبراهه
۱۴۰	۱۶۵	۶۶۰	۶۴۱		۱ → ۲
۳۳	۲۹	۱۵۳	۱۳۹		۲ → ۳
۸	۱۰	۳۰	۲۹		۳ → ۴
۳	۴	۹	۹		۴ → ۵
-	۲	۴	۲		۵ → ۶
۳/۱۱	۲/۵۱	۲/۹۶	۳/۲۹		Rbd

شاخص تقارن توپوگرافی عرضی حوضه‌ی (T) یکی دیگر از شاخص‌ها، برای بررسی تأثیر تکتونیک در عدم تقارن حوضه‌های زهکشی است (کاگس، ۱۹۹۴، ۵۷۱). مقدار این شاخص بین صفر و یک در تغییر است و هر چه عدد T به ۱ نزدیک‌تر باشد، عدم تقارن در حوضه بیشتر است. شاخص مذکور از فرمول زیر محاسبه می‌شود:

$$T = Da/Dd$$

1. Virdi
2. Keller
3. Pinter
4. Clement
5. Brook

که در آن Da ، فاصله‌ی مرز حوضه تا خط وسط حوضه و Dd ، فاصله‌ی رودخانه‌ی اصلی حوضه تا خط وسط حوضه است. برای محاسبه‌ی این شاخص، ابتدا خط وسط حوضه‌های زهکشی در نرمافزار الویس تعیین شد و سپس در چند مقطع عرضی از حوضه، مقدار T محاسبه شد و از میانگین آنها، تقارن توپوگرافی عرضی کل حوضه به دست آمد. جدول شماره ۵ مقدار T را برای حوضه‌های مختلف نشان می‌دهد. مقدار متوسط محاسبه شده T در حوضه پاطاق (۰/۴۸) نسبت به دیگر حوضه‌ها بیشتر است.

جدول ۵. شاخص‌های کجشیدگی تکتونیکی (AF و T) در حوضه‌های مورد مطالعه

درجه تخت	کمندان	پاطاق	پیران	حوضه پارامتر
۵۶	۵۷	۶۳	۵۹	AF
۰/۲۱	۰/۳۳	۰/۴۸	۰/۳۹	T

الگوی زهکشی

عوامل ساختمانی و سیستم چین خوردگی و تفاوت‌های محلی آن در زاگرس نقش مهمی در الگو و طرح سیستم آبراهه‌ای آن دارد. به‌طور کلی، الگوی زهکشی در مناطق چین خورده، طاقدیس‌ها و ناویدیس‌های متواالی به صورت داربستی^۱ دارد (اهنرت، ۱۹۹۸، ۲۰۷)، با این وجود، تغییراتی که در الگوی زهکشی در این مناطق ایجاد می‌شود به شدت و قدمت چین خوردگی‌ها بستگی دارد. در مناطق جوان چین خوردگی در پهلوهای پُرشیب طاقدیس‌ها، الگوی زهکشی موازی توسعه یافته است (دفونتینز، ۱۹۹۱، ۲۴۳)؛ در حالی که در طاقدیس‌های قدیمی‌تر با پهلوهای کم‌شیب که زمان زیادی از بالاً‌آمدگی آنها گذشته است، شبکه‌های زهکشی توسعه می‌یابند و الگوی شبکه‌ی درختی ایجاد می‌شود.

بررسی الگوی زهکشی در حوضه‌های مورد مطالعه نشان می‌دهد که حوضه‌های واقع در زاگرس رورانده که قبل از زاگرس چین خورده از آب خارج شده‌اند و عوامل فرسایشی در آنها بیشتر عمل کرده‌اند، الگوی زهکشی شبکه‌ی درختی دارند (شکل ۵). وضعیت الگوی زهکشی در دو حوضه‌ی پیران و پاطاق که در بخش خارجی منطقه‌ی جوان‌تر و فعال‌تر زاگرس چین خورده قرار دارند با دو حوضه‌ی دیگر متفاوت است. در حوضه‌های مذکور شبکه‌های زهکشی بیشتر تحت تأثیر ساختمان‌های طاقدیسی و ناویدیسی قرار گرفته‌اند. در دامنه‌ی پُرشیب طاقدیس‌ها، به‌ویژه در دامنه‌های طاقدیس نواکوه، آبراهه‌های متأثر از پهلوهای پُرشیب، الگوی موازی به‌خود گرفته‌اند. (آبراهه‌های اطراف شماره ۱ در شکل ۴-الف و اطراف شماره ۳ در شکل ۴-ب).

با این وجود در حوضه‌های پاطاق و پیران، در مناطق با ساختمان‌های کم‌شیب و مناطقی که اشکال فرسایشی ایجاد شده‌اند، الگوی تقریباً شبکه‌ی درختی توسعه یافته است (آبراهه‌های اطراف شماره ۲ در شکل ۴-الف و اطراف شماره ۴ در شکل ۴-ب). به‌طور کلی، در حوضه‌های پیران و پاطاق که در زون جوان زاگرس واقع شده‌اند، در مناطق پُرشیب و

تحت تأثیر بالاًمدگی‌های سریع تکتونیکی، مانند، پهلوهای پرشیب طاقدیس‌ها، الگوی زهکشی، موازی است. در این حوضه‌ها در مناطق کم‌شبی ساختمانی که فرسایش قدرت عمل بیشتری نسبت به تکتونیک داشته است، الگوی شبکه‌ی درختی دیده می‌شود.

بحث و نتیجه‌گیری

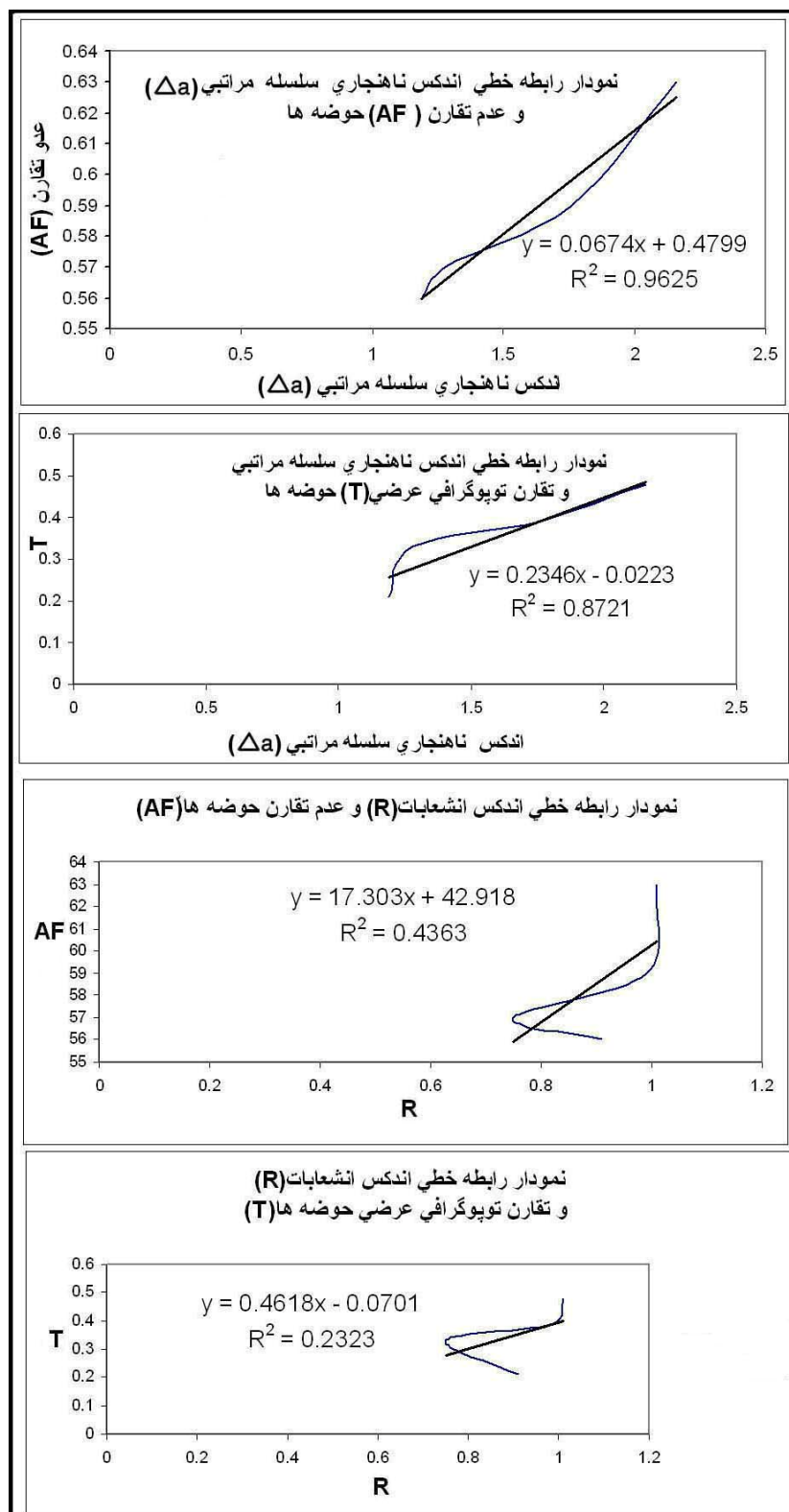
پژوهش حاضر با هدف بررسی نقش عوامل تکتونیک در ناهنجاری زهکشی، وضعیت آبراهه‌ها و نظم سلسله‌مراتبی آنها در چهار حوضه‌ی زهکشی در زاگرس را مورد بررسی قرار داده است. به‌منظور تعیین نقش عوامل تکتونیکی در وضعیت شبکه‌ی زهکشی، دو حوضه در زاگرس چین‌خورده و دو حوضه در زاگرس رورانده انتخاب شدند. به‌طورکلی، چین‌های زاگرس از شمال شرق به‌سمت جنوب‌غرب جوان‌تر بوده و ساختارها، سن کمتری دارند. حوضه‌های زهکشی پیران و پاطاق در زاگرس چین‌خورده و در بخش خارجی آن واقع شده‌اند که از نظر تکتونیکی، جوان‌تر از زاگرس رورانده هستند و طاقدیس‌های آن اکنون در حال بالاًمدگی هستند. حوضه‌ی پاطاق در بخش جنوب‌غرب حوضه‌ی پیران واقع شده و ساختارهای جدیدتری از حوضه‌های دیگر دارد.

در این پژوهش برای بررسی ناهنجاری شبکه‌ی زهکشی، شاخص ناهنجاری سلسله‌مراتبی و شاخص انشعابات مورد ارزیابی قرار گرفت. همچنین از شاخص‌های AF (شاخص عدم تقارن حوضه) و T (تقارن توپوگرافی عرضی حوضه) برای تعیین درجه‌ی تأثیرپذیری حوضه از عوامل تکتونیکی استفاده شد.

نتایج این پژوهش نشان می‌دهد که مقدار پارامتر Δa به عنوان یک شاخص مهم، برای شناسایی میزان ناهنجاری زهکشی در حوضه‌های مطالعاتی متفاوت است. مقدار پارامتر مذکور، بین ۲/۰۶ در حوضه‌ی پاطاق و ۱/۱۵ در حوضه‌ی دره‌تخت در حال تغییر است. به‌طورکلی، مقدار پارامتر Δa در حوضه‌های واقع در زاگرس چین‌خورده با تکتونیک‌های فعال‌تر (پاطاق و پیران)، بالاتر از دو حوضه واقع در زاگرس رورانده (قدیمی‌تر و فرسایش‌یافته‌تر) است.

برای بررسی رابطه‌ی ناهنجاری آبراهه‌ها با عوامل تکتونیکی، رابطه‌ی خطی بین پارامترهای Δa و AF و T و ضریب همبستگی آنها محاسبه شده است (شکل ۶). همان‌طور که شکل ۶ نشان می‌دهد، رابطه‌ی مستقیمی بین پارامتر Δa و AF با ضریب همبستگی ۹۶ درصد در حوضه‌های مطالعاتی وجود دارد. همچنین، بین پارامترهای Δa و T حوضه‌های مطالعاتی رابطه‌ی مستقیمی با ضریب همبستگی ۸۷ درصد دیده می‌شود و این موضوع، نشان‌دهنده‌ی تأثیر بسیار زیاد تکتونیک و کج‌شدگی ساختمانی حوضه‌ها بر ناهنجاری و بی‌نظمی شبکه‌ی زهکشی است.

از دیگر شاخص‌های مورد بررسی در این پژوهش، شاخص انشعابات یا پارامتر R است که از اختلاف بین نسبت مستقیم انشعابات (Rbd) و نسبت انشعابات (Rb) به‌دست آمد. شاخص مذکور نیز به‌خوبی تفاوت در ناهنجاری زهکشی در حوضه را نشان می‌دهد. بالاترین مقدار این پارامتر نیز مربوط به حوضه‌ی پاطاق (۱/۰۱) واقع در زاگرس چین‌خورده و کم‌ترین آن مربوط به حوضه‌ی کمندان (۰/۷۵) در زاگرس رورانده است. با این حال ترسیم رابطه خطی و ضریب همبستگی بین پارامتر R و AF نشان می‌دهد که رابطه‌ی خطی مستقیمی بین این دو متغیر وجود ندارد و ضریب همبستگی آنها حدود ۴۴ درصد است. ضریب همبستگی بین R و T نیز بسیار ضعیف (۲۳ درصد) است (شکل ۶).



شکل ۶. رابطه‌ی خطی و ضریب همبستگی بین پارامترهای ناهنجاری زهکشی و شاخص‌های کجشیدگی تکتونیکی در حوضه‌های مورد مطالعه

بررسی داده‌های مربوط به Δa و ارتباط آنها با شاخص‌های عدم تقارن حوضه‌ها (T و AF) نشان می‌دهد که این پارامتر، در مقایسه با پارامتر شاخص انشعابات (R)، کارایی بالای برای تعیین و شناسایی تکتونیک‌های فعال حوضه‌های آبخیز دارد.

بررسی الگوی زهکشی در حوضه‌های مطالعاتی نشان می‌دهد که حوضه‌های قدیمی‌تر و فرسایش‌یافته‌تر واقع در زاگرس رورانده (کمندان و دره‌تخت) الگوی زهکشی شبکه‌ی درختی دارند. الگوی زهکشی در دو حوضه‌ی پیران و پاطاق (در بخش جوان‌تر و فعال‌تر زاگرس چین‌خورده) بیشتر تحت تأثیر ساختمان‌های طاقدیسی و ناویدیس‌ها بوده و الگوی کلی داربستی دارند. با این وجود، در این حوضه‌ها در مناطق پُرشیب و تحت تأثیر بالاً‌آمدگی‌های سریع تکتونیکی مانند پهلوهای پُرشیب طاق‌ها، الگوی موازی توسعه یافته است، درحالی که در مناطق کم‌شیب ساختمانی که فرسایش قدرت عمل بیشتری نسبت به تکتونیک داشته است، الگوی شبکه‌ی درختی دیده می‌شود.

بررسی ناهنجاری زهکشی با وضعیت ساختمانی حوضه‌ها نشان می‌دهد که علاوه‌بر قرارگیری حوضه‌های آبخیز در زون‌های زمین‌شناسی بزرگ با ویژگی‌های خاص تکتونیکی، وضعیت محلی تکتونیک در هر حوضه آبخیز نیز در ناهنجاری آبراهه‌ها نقش مهمی دارد.

حوضه‌های پیران و پاطاق، بخشی از واحد ساختمانی زاگرس چین‌خورده و حوضه‌های کمندان و دره‌تخت، بخشی از واحد ساختمانی زاگرس رورانده هستند. واحد زاگرس مجموعه‌ای از طاقدیس‌ها و ناویدیس‌های متوالی را تشکیل می‌دهد که در آن توپوگرافی تابع ساختمان زمین‌شناسی است. به عبارتی کوه‌ها منطبق بر طاقدیس و دشت منطبق بر ناویدیس است که تحت تأثیر تکتونیک، مورفلولوژی طاقدیس‌ها و ناویدیس‌های آن متغیر است. همان‌گونه که در مقدمه ذکر شد، مطالعات نشان می‌دهد که زاگرس از شمال شرق به سمت جنوب‌غرب در حال بالاً‌آمدگی است و ساختارهای زاگرس از شمال شرق به سمت جنوب‌غرب جوان‌تر می‌شوند. به عبارتی بخش‌های شمال شرق (زاگرس رورانده) میلیون‌ها سال زودتر از بخش‌های جنوب‌غرب (زاگرس رورانده) از آب خارج شده است. به همین دلیل ساختارهای بخش زاگرس جنوب‌غرب جوان‌تر و دست‌نخورده‌تر باقی مانده‌اند، درحالی که، ساختارهای بخش رورانده، بیشتر تغییر شکل یافته‌اند. مطالعه‌ی حاضر با هدف بررسی نقش تکتونیک در مورفومتری شبکه‌ی زهکشی، دو حوضه‌ی پیران و پاطاق در واحد زاگرس چین‌خورده و دو حوضه‌ی کمندان و دره‌تخت در زاگرس رورانده را مورد بررسی قرار داده است.

ارزیابی شاخص‌های Δa و R و ارتباط آنها با شاخص‌های عدم تقارن حوضه‌ها (T و AF) نشان می‌دهد که شاخص Δa در مقایسه با شاخص R کارایی بالای برای تعیین و شناسایی تکتونیک‌های فعال حوضه‌های آبخیز دارد. بررسی حاضر نشان می‌دهد که حوضه‌های قدیمی‌تر واقع در زاگرس رورانده (کمندان و دره‌تخت)، الگوی زهکشی شبکه‌ی درختی دارند، درحالی که الگوی زهکشی در دو حوضه‌ی پیران و پاطاق (در بخش جوان‌تر زاگرس)، الگوی کلی داربستی دارند.

به‌طور کلی، از مجموع مطالب فوق می‌توان نتیجه گرفت که وضعیت زمین ساخت حوضه‌ها، در الگوی زهکشی و مقدار شاخص‌های مورد بررسی در این پژوهش (به‌ویژه شاخص Δa) نقش مؤثری دارند، به‌طوری که به عنوان نمونه، در حوضه‌ی پاطاق، تعداد بیشتر گسل‌ها و شکستگی‌ها نقش مهمی در افزایش ناهنجاری زهکشی آن داشته است. همچنین در این حوضه، عملکرد یک گسل راست لغز، عمود بر محور چین، طاقدیس نواکوه را به‌طور عرضی قطع کرده و امکان

ورود رودخانه واقع در ناودیس سرمهیل - شیره چقا به طاقدیس فرسایش یافته پاطاق را فراهم کرده و این تغییر مسیر ناگهانی شبکه، از یک ناودیس به طاقدیس مجاور در افزایش ناهنجاری زهکشی این حوضه نقش مؤثری داشته است. پیشنهاد می‌شود در تحقیقات آینده، شاخص‌های ناهنجاری زهکشی در حوضه‌های بیشتر با خصوصیات تکتونیکی و مورفومتریکی متفاوت بررسی شود تا کارایی و ارزش این شاخص‌ها به‌طور دقیق‌تری تعیین شود.

منابع

- Ahmadi, R., Ouali, J., Mercier, E., Mansy, J.L., 2006, **The Geomorphologic Responses to Hinge Migration in the Fault-Related Folds in the Southern Tunisian Atlas**, Journal of Structural Geology, 28, pp. 721–728.
- Ahnert, F., 1998, **Introduction to Geomorphology**, London, Arnold, 352 p.
- Baroni, C., Noti, V., Ciccarelli, S., Righini, G., Salvatore, M.C., 2005, **Fluvial Origin of the Valley System in Northern Victoria Land (Antarctica) from Quantitative Geomorphic Analysis**. GSA Bulletin, 117 (1-2), pp. 212–228.
- Berberian, M., 1995, **Master "Blind" Thrust Faults Hidden under the Zagros Folds: Active Basement Tectonics and Surface Morphotectonics**, Tectonophysics, 241, pp. 193–224.
- Blanc, E.J.P., Allen, M. B., Inger, S., Hassani, H., 2003, **Structural Styles in the Zagros Simple Folded Zone**, Iran, Journal of the Geological Society, London, 160, pp. 401–412.
- Ciccarelli, S., Fredi, P., Lupia Palmieri, E., Pugliese, F., 1986, **Indirect Evaluation of Erosion Entity in Drainage Basins through Geomorphic, Climatic and Hydrological Parameters**, International Geomorphology, pp. 233–248.
- Clement, A.J.H and Brook, M.S., 2008, **Tilting of Active Folds and Drainage Asymmetry on the Manawatu Anticlines**, New Zealand, A Preliminary Investigation, Earth Surface Processes and Landforms 33, pp. 1787–1795.
- Cox, R.T., 1994, **Analysis of Drainage-Basin Symmetry as a Rapid Technique to Identify Areas of Possible Quaternary Tilt-Block Tectonics**, An Example from the Mississippi Embayment, Geological Society of America Bulletin 106, 571–581.
- Deffontaines, B., Chorowicz, J., 1991, **Principles of Drainage Basin Analysis from Multisource Data: Application to the Structural Analysis of the Zaire Basin**, Tectonophysics, 194, pp. 237–263.
- Deffontaines, B., Chotin, P., Air Brahim, L., & Rozanov, M., 1992, **Investigation of Active Faults in Morocco Using Morphometric Methods and Drainage Pattern Analysis**, Geologische Rundschau, 81, pp. 199–210.
- Deffontaines, B., Lee, J.C., Angelier, J., Carvalho, J., Rudant, J.P., 1994, **New Geomorphic Data on the Active Taiwan Orogen**, A Multisource Approach, Journal of Geophysical Research, 99, 20, 243–20, 266.
- Delcaillau, B., Carozza, J.M., Laville, E., 2006, **Recent Fold Growth and Drainage Development**, the Janauri and Chandigarh Anticlines in the Siwalik Foothills, Northwest India, Geomorphology, pp. 76–241–256.

- Goldsworthy, M., & Jackson, J., 2000, **Active Normal Fault Evolution in Greece Revealed by Geomorphology a Drainage Pattern**, Journal of the Geological Society, London, 157, 967- 981.
- Guarnieri, P., Pirrotta, C., 2008, **The Response of Drainage Basins to the Late Quaternary Tectonics in the Sicilian Side of the Messina Strait (NE Sicily)**, Geomorphology, 95, pp. 260–273.
- Hessami, K., Nilforoushan, F., Talbot, C.J., 2006, **Active Deformation within the Zagros Mountains Deduced from GPS Measurements**, Journal of the Geological Society, London, 163, pp.143-148.
- Iranian Geological Survey**, 1992, 1/100000 geologic map of Khoram - Abad.
- Iranian National Geography Organization**, 1997, 1/50000 topographic map, sheet 5158-1 and 7063-4.
- Jackson, J., Norris, R., Yougson, J., 1996, **The Structural Evolution of Active Fault and Fold Systems in Central Otago**, New Zealand, Evidence Revealed by Drainage Patterns, Journal of Structural Geology, 18 (2-3), pp. 217-234.
- Jackson, J., Van Dissen, R., Berryman, K., 1998, **Tilting of Active Folds and Faults in the Manawatu Region**, New Zealand, Evidence from Surface Drainage Patterns, New Zealand Journal of Geology and Geophysics 41, pp. 377–385.
- Jamieson, S.S.R., Sinclair, H.D., Kirstein, L.A., Purves, R.S., 2004, **Tectonic Forcing of Longitudinal Valleys in the Himalaya**, morphological Analysis of the Ladakh Batholith, North India, Geomorphology, 58, pp. 49–65.
- Keller, E.A. and Pinter., N., 2002. **Active Tectonics, Earthquakes, Uplift and Landscape**, New Jersey, Prentice Hall, 362 p.
- National Iranian Oil Company**, 1963, 1/250000 geologic map of Qasre - Shirin.
- Nilforoushan, F., Vernant, P., & Masson, F., et al, 2003, **GPS Network Monitors the Arabia-Eurasia Collision Deformation in Iran**, Journal of Geodesy, 77, pp. 411–422.
- Oberlander, T. M., 1985, **Origin of Drainage Transverse to Structures in Orogenes**, in Tectonic Geomorphology, edited by Morisawa, M., and Hack, J.T., Allen and Unwin, Boston, pp. 155 – 182.
- Piraste, S., Pradhan, B., Rizvi, S.M., 2011, **Tectonic Process Analysis in Zagros Mountain with the Aid of Drainage Networks and Topography Maps Dated 1950–2001 in GIS**, Arabian Journal of Geoscience, 4 (1-2), pp. 171-180.
- Ramsey, L.A., Walker, R.T., Jackson, J., 2008, **Fold Evolution and Drainage Development in the Zagros Mountains of Fars Province**, SE Iran, Basin Research, 20, pp. 23-48.
- Rangzan, K., and Iqbaluddin., 1995, **Morpo- tectonic Study of Zagros Structural Belt of SW Iran Using Remote Sensing Techniques**, Journal of the Indian Society of Remote Sensing 23, (4), pp. 211- 224.
- Simoni, A., Elmi, C., Picotti, V., 2003, **Late Quaternary Uplift and Valley Evolution in the Northern Apennines, Lamone Catchment**, Quaternary International, pp. 101–102-253–267.

- Sung, O., Chen, Y.C., 2004, **Geomorphic Evidence and Kinematic Model for Quaternary Transfer Faulting of the Pakuashan Anticline, Central Taiwan**, Journal of Asian Earth Sciences 24, 389–404.
- Talling, P., & Sowter, M.J., 1999, **Drainage Density on Progressively Tilted Surfaces with Different Gradients**, Wheeler Ridge, California, Earth Surface Processes and Landforms 24, pp. 809-824.
- Vernant, P., Nilforoushan, F. & Hatzfeld, D., et al. 2004, **Present-day Crustal Deformation and Plate Kinematics in Middle East Constrained by GPS Measurements in Iran and Northern Oman**, Geophysical Journal International, 157, pp. 381–398.
- Virdi, N. S., Philip, Bhattacharya, S., 2006, **Neotectonic Activity in the Markanda and Bata River Basins**, Himachal Pradesh, NW Himalaya: A Morphotectonic Approach. International Journal of Remote Sensing 27 (10), 2093–2099.
- Zhang, H.P., Liu, S.F., Yang, N., Zhang, Y.Q., Zhang, G.W., 2006, **Geomorphic Characteristics of the Minjiang Drainage Basin (Eastern Tibetan Plateau) and its Tectonic Implications: New Insights from a Digital Elevation Model Study**, Island Arc 15, pp. 239–250.